



いま、

$$\left. \begin{aligned} \beta &= clh'/J + J' \\ \omega &= \sqrt{K/J + J'} \end{aligned} \right\} \dots \quad (3)$$

とおけば、式(2)はつきのようになる：

$$\ddot{\theta} + \beta \dot{\theta} + \omega^2 \theta = \frac{1}{J_+ J'} (Ph + P'b) \quad \dots \dots \dots (2')$$

上式から明らかのように、

$\beta$ : ロッキングの減衰係数

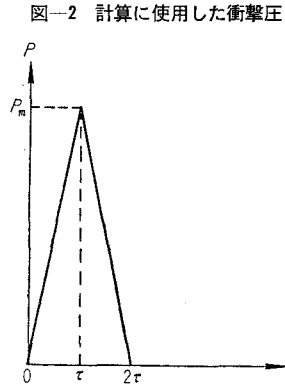
$\omega$ : 減衰のないときのロッキングの角速度

である。

式(2')において、 $P$ および $P'$ を与えれば $\theta$ を解いて求めることができる。 $P$ としては、前報におけると同様に図-2に示される関数形をとる。すなわち、

ただし、

$$P = \int_0^t dt$$



である。式(4)を式(2')に代入し、初期条件

の上で  $\theta$  の解を Bromwich の積分形に記せば、

$$\theta = \frac{P_m}{(J+J')\tau} \frac{1}{2\pi i} \int_{B_r} \frac{e^{pt}}{p} \frac{1}{p^2 + \omega^2} \frac{(1 - e^{-tp})^2}{p} dp$$

..... (6)

この積分を遂行することにより  $\theta$  がつぎのように求められる：

$$\begin{aligned}
 & \theta / \left( \frac{1}{J+J'}(h+\alpha b) \frac{P_m}{\tau} \right) \\
 &= \begin{cases} \frac{1}{\omega^3} \left[ \omega t - \frac{\beta}{\omega} - \frac{e^{-\frac{\beta}{2}t}}{\sqrt{1-\frac{\beta^2}{4\omega^2}}} \sin \left( \omega \sqrt{1-\frac{\beta^2}{4\omega^2}} t - \delta \right) \right] & (0 \leq t < \tau) \\ \frac{1}{\omega^3} \left[ \omega(2\tau-t) + \frac{\beta}{\omega} - \frac{e^{-\frac{\beta}{2}t}}{\sqrt{1-\frac{\beta^2}{4\omega^2}}} \left\{ \sin \left( \omega \sqrt{1-\frac{\beta^2}{4\omega^2}} t - \delta \right) - 2 e^{\frac{\beta}{2}\tau} \sin \left( \omega \sqrt{1-\frac{\beta^2}{4\omega^2}} (t-\tau) - \delta \right) \right\} \right] & (\tau \leq t < 2\tau) \\ -\frac{1}{\omega^3} \frac{e^{-\frac{\beta}{2}t}}{\sqrt{1-\frac{\beta^2}{4\omega^2}}} \left\{ \sin \left( \omega \sqrt{1-\frac{\beta^2}{4\omega^2}} t - \delta \right) - 2 e^{\frac{\beta}{2}\tau} \sin \left( \omega \sqrt{1-\frac{\beta^2}{4\omega^2}} (t-\tau) - \delta \right) \right. \\ \left. + e^{\beta\tau} \sin \left( \omega \sqrt{1-\frac{\beta^2}{4\omega^2}} (t-2\tau) - \delta \right) \right\} & (2\tau \leq t) \end{cases} \quad (7)
 \end{aligned}$$

二二四

式(17)と式(4)および式(3)を式(11)に代入すると  $F$  がつぎのように求められる:

$$\left\{ \begin{array}{l} \frac{P_m}{\tau} \left[ t - \frac{1}{\omega} \frac{1}{\sqrt{1 - \frac{\beta^2}{4\omega^2}}} = \frac{(h+\alpha b)l}{R^2} \left( 1 - \frac{R^2}{lh'} \frac{\beta^2}{2\omega^2} \right) \cdot e^{-\frac{\beta}{2}t} \sin \omega \sqrt{1 - \frac{\beta^2}{4\omega^2}} t \right. \\ \quad \left. - \frac{\beta}{\omega^2} \frac{h+\alpha b}{h'} \left\{ 1 - e^{-\frac{\beta}{2}t} \cos \omega \sqrt{1 - \frac{\beta^2}{4\omega^2}} t \right\} \right] \quad (0 \leq t < \tau) \\ \frac{P_m}{\tau} \left[ 2\tau - t - \frac{\beta}{\omega^2} \frac{h+\alpha b}{h'} - \frac{1}{\omega} \frac{1}{\sqrt{1 - \frac{\beta^2}{4\omega^2}}} = \frac{(h+\alpha b)l}{R^2} \left( 1 - \frac{R^2}{lh'} \frac{\beta^2}{2\omega^2} \right) \cdot e^{-\frac{\beta}{2}t} \left\{ \sin \omega \sqrt{1 - \frac{\beta^2}{4\omega^2}} t \right. \right. \\ \quad \left. - 2e^{\frac{\beta}{2}\tau} \cdot \sin \omega \sqrt{1 - \frac{\beta^2}{4\omega^2}} (t-\tau) \right\} + \frac{\beta}{\omega^2} \frac{h+\alpha b}{h'} \cdot e^{-\frac{\beta}{2}t} \left\{ \cos \omega \sqrt{1 - \frac{\beta^2}{4\omega^2}} t \right. \\ \quad \left. - 2e^{\frac{\beta}{2}\tau} \cdot \cos \omega \sqrt{1 - \frac{\beta^2}{4\omega^2}} (t-\tau) \right\} \right] \quad (\tau \leq t < 2\tau) \end{array} \right.$$

$$\frac{P_m}{\tau} \left[ -\frac{1}{\omega} \frac{1}{\sqrt{1-\frac{\beta^2}{4\omega^2}}} \frac{(h+\alpha b)l}{R^2} \left( 1 - \frac{R^2}{lh'} \frac{\beta^2}{2\omega^2} \right) e^{-\frac{\beta}{2}t} \left\{ \sin \omega \sqrt{1-\frac{\beta^2}{4\omega^2}} t \right. \right. \\ - 2e^{\frac{\beta}{2}t} \cdot \sin \omega \sqrt{1-\frac{\beta^2}{4\omega^2}} (t-\tau) + e^{\beta t} \cdot \sin \omega \sqrt{1-\frac{\beta^2}{4\omega^2}} (t-2\tau) \left. \right\} \\ + \frac{\beta}{\omega^2} \frac{h+\alpha b}{h'} e^{-\frac{\beta}{2}t} \left\{ \cos \omega \sqrt{1-\frac{\beta^2}{4\omega^2}} t - 2e^{\frac{\beta}{2}t} \cos \omega \sqrt{1-\frac{\beta^2}{4\omega^2}} (t-\tau) \right. \\ \left. \left. + e^{\beta t} \cdot \cos \omega \sqrt{1-\frac{\beta^2}{4\omega^2}} (t-2\tau) \right\} \right] \quad (\tau \leq t) \quad (9)$$

ただし  $R^2 = (J+J')/(m+m')$  ..... (10)  
である。

さて、 $\beta$  は  $\omega$  にくらべて一般にかなり小さいはずであるので

$$\beta/\omega \ll 1 \quad (11)$$

として  $\beta/\omega$  のかかった項を無視すると、式 (9) はつぎのように簡略化される：

$$F = \begin{cases} \frac{P_m}{\omega\tau} \left[ \omega t - \lambda e^{-\frac{\beta}{2}t} \sin \omega t \right] \\ \frac{P_m}{\omega\tau} \left[ 2\omega\tau - \omega t - \lambda e^{-\frac{\beta}{2}t} \{ \sin \omega t - 2e^{\frac{\beta}{2}t} \sin \omega(t-\tau) \} \right] \\ \frac{P_m}{\omega\tau} \left[ -\lambda e^{-\frac{\beta}{2}t} \{ \sin \omega t - 2e^{\frac{\beta}{2}t} \sin \omega(t-\tau) + e^{\beta t} \sin \omega(t-2\tau) \} \right] \end{cases} \quad (12)$$

ただし、 $\lambda = (h+\alpha b)l/R^2$  ..... (12.a)

である。つぎに、 $T$ ：堤体ロッキングの周期

として  $t/T=t'$   $\tau/T=\tau'$  ..... (13)

とおいて、無次元時間  $t'$ 、無次元衝撃時間  $\tau'$  の導入を行なえば、式 (12) はつぎのように書直される：

$$F = \begin{cases} \frac{P_m}{\tau'} \left[ t' - \frac{\lambda}{2\pi} e^{-\frac{\beta T}{2}t'} \sin 2\pi t' \right] \quad (0 \leq t' < \tau') \\ \frac{P_m}{\tau'} \left[ 2\tau' - t' - \frac{\lambda}{2\pi} e^{-\frac{\beta T}{2}t'} \{ \sin 2\pi t' - 2e^{\frac{\beta T}{2}} \sin 2\pi(t'-\tau') \} \right] \quad (\tau' \leq t' < 2\tau') \\ \frac{P_m}{\tau'} \left[ -\frac{\lambda}{2\pi} e^{-\frac{\beta T}{2}t'} \{ \sin 2\pi t' - 2e^{\frac{\beta T}{2}} \sin 2\pi(t'-\tau') + e^{\beta T} \sin 2\pi(t'-2\tau') \} \right] \quad (2\tau' \leq t') \end{cases} \quad (14)$$

図-3～7 は  $\beta=0$  のときの  $F/P_m$  の値を式 (14) により示したものである。

### 3. 静水中における壁体のロッキングによる水の運動

ロッキング時の壁体の仮想質量とロッキングに対する減衰係数の理論計算を行なうために、まず静水中において壁体がロッキングを行なうとき生ずべき水の運動について考えてみる。

考える水域を図-8 で示すもので近似し、水深を  $D$  とする。この水域について成り立つ基本式は、水の粘性を無視すれば、

$$\frac{\partial^2 \phi}{\partial x^2} + \frac{\partial^2 \phi}{\partial y^2} = 0 \quad (15)$$

ただし、

$\phi$ ：速度ポテンシャル

$x, y$ ：図-8 に示したような座標軸

この基本式をつぎの境界条件のもとにおく：

$$y=0 \text{ で } \frac{\partial \phi}{\partial y} = 0 \quad (16)$$

$$y=D \text{ で } \frac{\partial^2 \phi}{\partial t^2} + g \frac{\partial \phi}{\partial y} = 0 \quad (17)$$

$$x=0 \text{ で } -\frac{\partial \phi}{\partial x} = \frac{V_0}{l} y e^{i\omega t} \quad (18)$$

$$x=\infty \text{ で } \phi = \infty \quad (19)$$

ただし

$$i = \sqrt{-1}$$

$V_0$ ：ロッキングによる重心の移動速度の最大値

$\omega$ ：ロッキングの角速度（既出）

$l$ ：壁体重心の高さ（既出）

これらの境界条件を満たす式 (15) の解を求めるところのようになる：

$$\phi = \left[ B_0 \operatorname{ch} \frac{2\pi y}{\lambda_0} e^{-i\frac{2\pi x}{\lambda_0}} + \sum_{n=1}^{\infty} B_n \cos \frac{2\pi y}{\lambda_n} e^{-i\frac{2\pi x}{\lambda_n}} \right] e^{i\omega t} \quad (20)$$

ただし

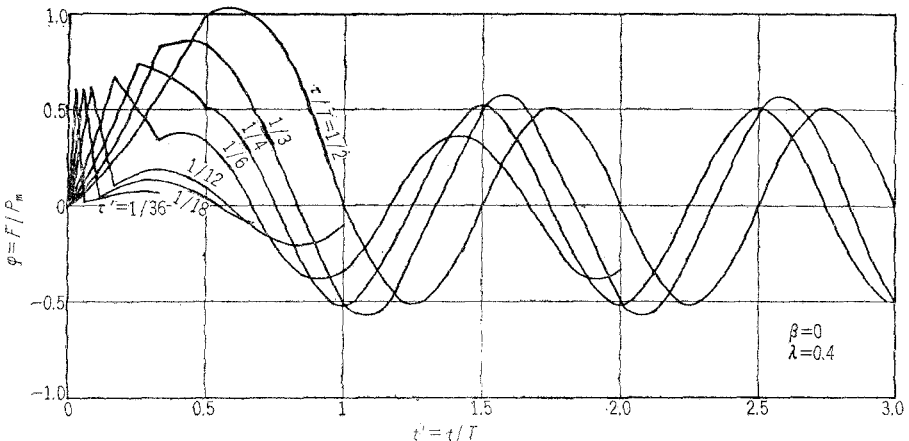
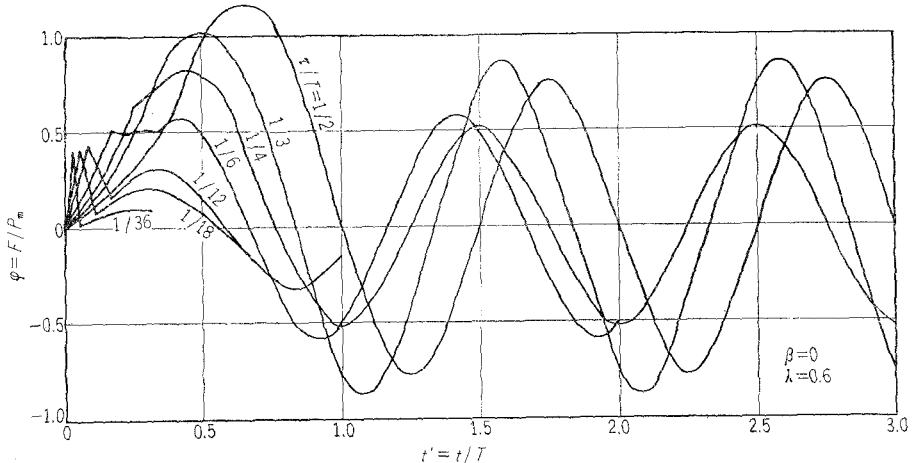
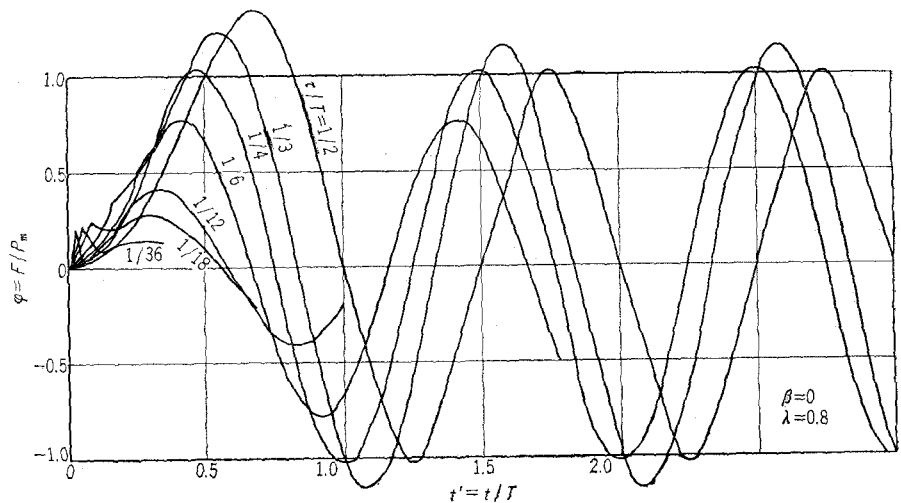
図-3  $F/P_m$  の値 ( $\beta=0, \lambda=0.4$  の場合)図-4  $F/P_m$  の値 ( $\beta=0, \lambda=0.6$  の場合)図-5  $F/P_m$  の値 ( $\beta=0, \lambda=0.8$  の場合)

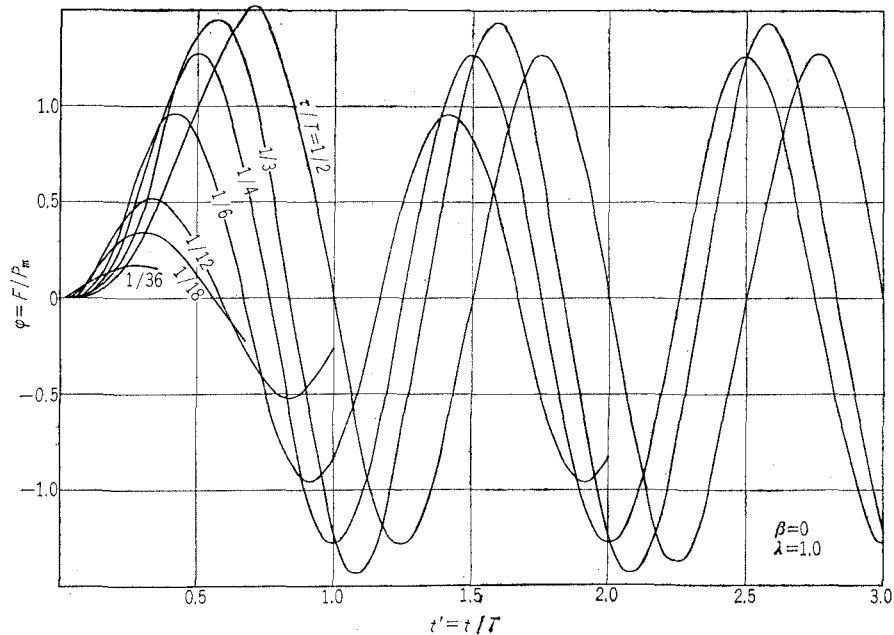
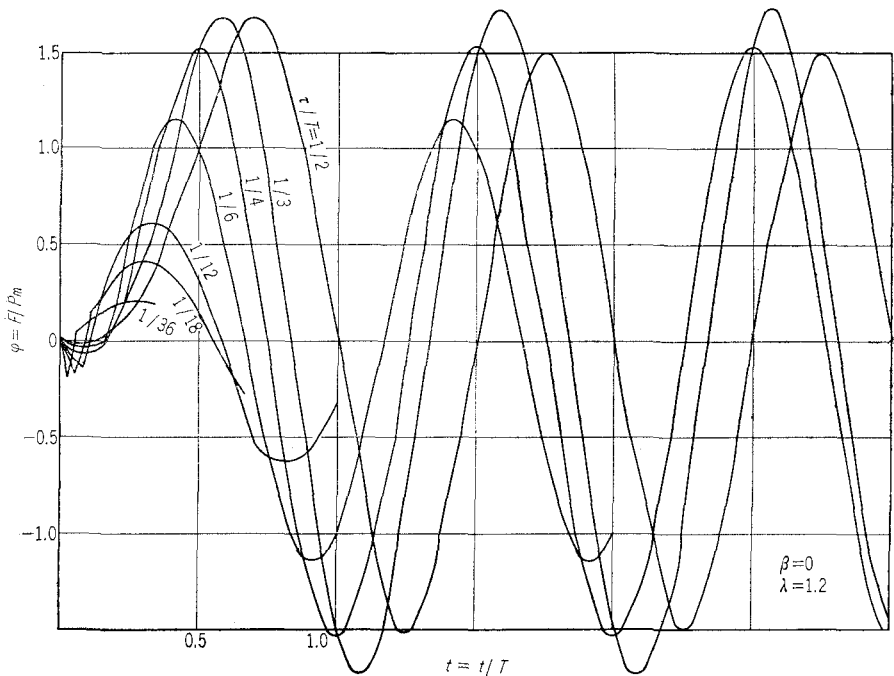
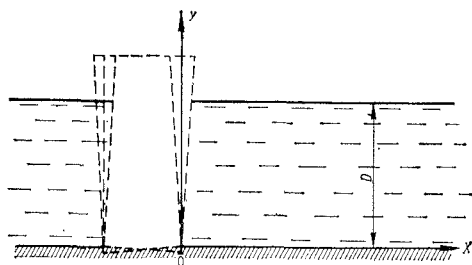
図-6  $F/P_m$  の値 ( $\beta=0, \lambda=1.0$  の場合)図-7  $F/P_m$  の値 ( $\beta=0, \lambda=1.2$  の場合)

図-8



$$\left. \begin{aligned} B_0 &= -i \frac{V_0}{l} \frac{\lambda^2}{\pi^2} \left[ \frac{2\pi D \operatorname{sh} \frac{2\pi D}{\lambda_0} - \operatorname{ch} \frac{2\pi D}{\lambda_0} + 1}{4\pi D + \operatorname{sh} \frac{4\pi D}{\lambda_0}} \right] \\ B_n &= \frac{V_0}{l} \frac{\lambda_n^2}{\pi^2} \left[ \frac{2\pi D \sin \frac{2\pi D}{\lambda_n} + \cos \frac{2\pi D}{\lambda_n} - 1}{4\pi D + \sin \frac{4\pi D}{\lambda_n}} \right] \quad (n=1,2,3,\dots) \end{aligned} \right\} \quad (21)$$

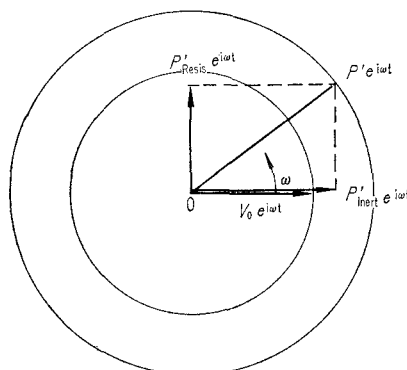
また、 $\lambda_0, \lambda_n$  はそれぞれつぎの式の根である：

$$\left. \begin{aligned} \frac{2\pi g}{\lambda_0} \operatorname{th} \frac{2\pi D}{\lambda_0} &= \omega^2 \\ -\frac{2\pi g}{\lambda_n} \tan \frac{2\pi D}{\lambda_n} &= \omega^2 \quad (n=1,2,3,\dots) \end{aligned} \right\} \quad (22)$$

### 3. 抵抗と仮想質量

図-8 のような運動において、壁体には水の抵抗が作用する。その抵抗を2つに分けて、速度に比例するものと、加速度に比例するものとに分解することができる(図-9)。すなわち、

図-9 壁体に作用する水の抵抗と壁体重心の移動速度



$$\left. \begin{aligned} P'_{\text{Resis}} &\propto V \\ P'_{\text{Inert}} &\propto \frac{dV}{dt} \end{aligned} \right\} \quad \dots \quad (23)$$

そこで、その比例定数をそれぞれ  $c$  および  $m'$  とおけば

$$\left. \begin{aligned} P'_{\text{Resis}} &= cV_0 (=cV_0 e^{i\omega t}) \\ P'_{\text{Inert}} &= m'V_0 (=m'i\omega V_0 e^{i\omega t}) \end{aligned} \right\} \quad \dots \quad (24)$$

ここに、 $c$  および  $m'$  が

$c$ ：水運動抵抗の係数（記号前出）

$m'$ ：仮想質量（単位堤長当たりの）（記号前出）と称するものであることは申すまでもない。

### 4. 壁体ロッキングにより壁体面に作用する水圧

壁体に作用する水圧の強さは次式で計算される：

$$p = \rho \left( \frac{\partial \phi}{\partial t} \right)_{x=0} \quad \dots \quad (25)$$

ここに

$\rho$ ：水（海水）の密度

である。式(25)に式(20)を代入すると、

$$p = \frac{\rho V_0 \omega}{l \pi^2} \left[ \lambda_0^2 \left( \frac{2\pi D \operatorname{sh} \frac{2\pi D}{\lambda_0} - \operatorname{ch} \frac{2\pi D}{\lambda_0} + 1}{4\pi D + \operatorname{sh} \frac{4\pi D}{\lambda_0}} \right) \operatorname{ch} \frac{2\pi y}{\lambda_0} \right. \\ \left. + i \sum_{n=1}^{\infty} \lambda_n^2 \left( \frac{2\pi D \sin \frac{2\pi D}{\lambda_n} + \cos \frac{2\pi D}{\lambda_n} - 1}{4\pi D + \sin \frac{4\pi D}{\lambda_n}} \right) \cos \frac{2\pi y}{\lambda_n} \right] e^{i\omega t} \quad (26)$$

したがって、壁面の両面に作用する水圧の合力  $P'$  は

$$P' = 2 \int_0^D p dy \\ = \frac{\rho V_0 \omega}{l \pi^3} \left[ \lambda_0^3 \left( \frac{2\pi D \operatorname{sh} \frac{2\pi D}{\lambda_0} - \operatorname{ch} \frac{2\pi D}{\lambda_0} + 1}{4\pi D + \operatorname{sh} \frac{4\pi D}{\lambda_0}} \right) \operatorname{sh} \frac{2\pi D}{\lambda_0} \right. \\ \left. + i \sum_{n=1}^{\infty} \lambda_n^3 \left( \frac{2\pi D \sin \frac{2\pi D}{\lambda_n} + \cos \frac{2\pi D}{\lambda_n} - 1}{4\pi D + \sin \frac{4\pi D}{\lambda_n}} \right) \sin \frac{2\pi D}{\lambda_n} \right] e^{i\omega t} \quad (27)$$

よって、

$$\left. \begin{aligned} P'_{\text{Resis}} &= \frac{\rho V_0 \omega \lambda_0^3}{l \pi^3} \left( \frac{2\pi D \operatorname{sh} \frac{2\pi D}{\lambda_0} - \operatorname{ch} \frac{2\pi D}{\lambda_0} + 1}{4\pi D + \operatorname{sh} \frac{4\pi D}{\lambda_0}} \right) \operatorname{sh} \frac{2\pi D}{\lambda_0} \\ P'_{\text{Inert}} &= i \frac{\rho V_0 \omega}{l \pi^3} \sum_{n=1}^{\infty} \lambda_n^3 \left( \frac{2\pi D \sin \frac{2\pi D}{\lambda_n} + \cos \frac{2\pi D}{\lambda_n} - 1}{4\pi D + \sin \frac{4\pi D}{\lambda_n}} \right) \times \sin \frac{2\pi D}{\lambda_n} \cdot e^{i\omega t} \end{aligned} \right\} \quad \dots \quad (28)$$

ゆえに

$$\left. \begin{aligned} c &= \frac{\rho \omega \lambda_0^3}{l \pi^3} \left( \frac{2\pi D \operatorname{sh} \frac{2\pi D}{\lambda_0} - \operatorname{ch} \frac{2\pi D}{\lambda_0} + 1}{4\pi D + \operatorname{sh} \frac{4\pi D}{\lambda_0}} \right) \operatorname{sh} \frac{2\pi D}{\lambda_0} \\ m' &= \frac{\rho}{l \pi^3} \sum_{n=1}^{\infty} \lambda_n^3 \left( \frac{2\pi D \sin \frac{2\pi D}{\lambda_n} + \cos \frac{2\pi D}{\lambda_n} - 1}{4\pi D + \sin \frac{4\pi D}{\lambda_n}} \right) \sin \frac{2\pi D}{\lambda_n} \end{aligned} \right\} \quad \dots \quad (29)$$

## 5. 仮想慣性モーメント、 $P'_{\text{Resis}}$ の作用点の高さ、およびロッキングの減衰係数

ロッキング運動に対する水圧による抵抗モーメント  $M'$  もまた角速度  $\dot{\theta}$  に比例するものと、角加速度  $\ddot{\theta}$  に比例するものとに分解することができる。そして、角加速度  $\ddot{\theta}$  に比例するものを  $M_{\text{Inert}}$  と記せば、

$$M' = 2 \int_0^D p dy \cdot y$$

$$= \frac{\rho V_0 \omega}{2 l \pi^4} \left[ \lambda_0^4 \frac{\frac{2 \pi D}{\lambda_0} \sin \frac{2 \pi D}{\lambda_0} + \cos \frac{2 \pi D}{\lambda_0} - 1}{\frac{4 \pi D}{\lambda_0} + \sin \frac{4 \pi D}{\lambda_0}} \left( \frac{2 \pi D}{\lambda_0} \sin \frac{2 \pi D}{\lambda_0} - \cos \frac{2 \pi D}{\lambda_0} + 1 \right) \right. \\ \left. + i \sum_{n=1}^{\infty} \lambda_n^4 \frac{\frac{2 \pi D}{\lambda_n} \sin \frac{2 \pi D}{\lambda_n} + \cos \frac{2 \pi D}{\lambda_n} - 1}{\frac{4 \pi D}{\lambda_n} + \sin \frac{4 \pi D}{\lambda_n}} \left( \frac{2 \pi D}{\lambda_n} \sin \frac{2 \pi D}{\lambda_n} + \cos \frac{2 \pi D}{\lambda_n} - 1 \right) \right] e^{i \omega t} \quad (32)$$

よって

$$M'_{\text{Inert}} = i \frac{\rho V_0 \omega}{2 l \pi^4} \sum_{n=1}^{\infty} \lambda_n^4 \frac{\left( \frac{2 \pi D}{\lambda_n} \sin \frac{2 \pi D}{\lambda_n} + \cos \frac{2 \pi D}{\lambda_n} - 1 \right)^2}{\frac{4 \pi D}{\lambda_n} + \sin \frac{4 \pi D}{\lambda_n}} e^{i \omega t} \quad (33)$$

したがって

$$J' = \frac{\rho}{2 \pi^4} \sum_{n=1}^{\infty} \lambda_n^4 \frac{\left( \frac{2 \pi D}{\lambda_n} \sin \frac{2 \pi D}{\lambda_n} + \cos \frac{2 \pi D}{\lambda_n} - 1 \right)^2}{\frac{4 \pi D}{\lambda_n} + \sin \frac{4 \pi D}{\lambda_n}} \quad (34)$$

一方、水運動抵抗のモーメントは

$$M'_{\text{Resis}}$$

$$= \frac{\rho V_0 \omega \lambda_0^4}{2 l \pi^4} \frac{\left( \frac{2 \pi D}{\lambda_0} \sin \frac{2 \pi D}{\lambda_0} - \cos \frac{2 \pi D}{\lambda_0} + 1 \right)^2}{\frac{4 \pi D}{\lambda_0} + \sin \frac{4 \pi D}{\lambda_0}} e^{i \omega t} \quad (35)$$

したがって、水運動抵抗の合力の作用点の高さ  $h'$  は

$$h' = M'_{\text{Resis}} / P'_{\text{Resis}} \\ = \frac{\lambda_0}{2 \pi} \frac{\frac{2 \pi D}{\lambda_0} \sin \frac{2 \pi D}{\lambda_0} - \cos \frac{2 \pi D}{\lambda_0} + 1}{\sin \frac{2 \pi D}{\lambda_0}} \quad (36)$$

また、減衰係数  $\beta$  は

$$\beta = c l h' / (J + J') \\ = \frac{\rho \omega \lambda_0^4}{2 \pi^4 (J + J')} \left( \frac{2 \pi D}{\lambda_0} \sin \frac{2 \pi D}{\lambda_0} - \cos \frac{2 \pi D}{\lambda_0} + 1 \right)^2 \quad (37)$$

と求められる。

## 6. $m', J'; c, h', \beta$ の実用計算と無次元パラメーター $\omega^2 D/g$

固有値  $\lambda_0$  は既出のよう

$$\frac{2 \pi g}{\lambda_0} \operatorname{th} \frac{2 \pi D}{\lambda_0} = \omega^2 \quad (22)$$

$$M_{\text{Inert}} \propto \ddot{\theta} \quad (30)$$

その比例定数を  $J'$  とすると、

$$M'_{\text{Inert}} = J' \ddot{\theta} \left( = J' \frac{V_0}{l} i \omega e^{i \omega t} \right) \quad (31)$$

ここに、明らかのように、

$J'$  : 付加慣性モーメント (単位堤長当たり)  
である。水圧による抵抗モーメント (ただし0点周りの)  $M'$  は

で与えられるものであるが、いま

$$\operatorname{th} \frac{2 \pi D}{\lambda_0} \approx 1 \quad (38)$$

と仮定すると、式 (22) から  $2 \pi D / \lambda_0$  の値はつぎのように求められる :

$$\frac{2 \pi D}{\lambda_0} = \frac{\omega^2 D}{g} \quad (39)$$

しかし、式 (38) の仮定が正しかったかどうかをつぎに調べてみなければならない。 $T$  と  $D$  の範囲は

$$T = 0.07 \sim 0.9 \text{ sec}$$

$$D = 3 \sim 10 \text{ m}$$

と考えられるから、

$$\frac{\omega^2 D}{g} > \frac{(2 \pi / 0.9)^2 \times 3}{9.8} = 14.96$$

よって、

$$2 \pi D / \lambda_0 > 14.96$$

この範囲の  $2 \pi D / \lambda_0$  の値に対しては式 (38) の仮定は十分の精度をもって成立する。したがって式 (38) の仮定は正しく、したがって式 (39) の結果は十分の精度をもって正しい。

固有値  $\lambda_n$  は

$$-\frac{2 \pi g}{\lambda_n} \tan \frac{2 \pi D}{\lambda_n} = \omega^2 \quad (22)$$

で与えられるが、同様にして近似的に

$$\frac{D}{\lambda_n} = \frac{2 n - 1}{4} \quad (n = 1, 2, 3, \dots) \quad (40)$$

を得る。

式 (39) および式 (40) を式 (29), 式 (34), (36) および式 (37) に代入すると、次式を得る :

$$\begin{aligned} m' &= \frac{64}{\pi^4} \left[ \frac{\pi}{2} \left( 1 + \frac{1}{3^3} + \frac{1}{5^3} + \dots \right) - \left( 1 + \frac{1}{3^4} + \frac{1}{5^4} + \dots \right) \right] \cdot \rho D^2 \\ &= 0.428 \rho D^2 \end{aligned} \quad (41)$$

$$\begin{aligned} J' &= \frac{64}{\pi^5} \left[ \frac{\pi}{2} \left( -1 + \frac{5}{3^4} + \frac{3}{5^4} + \dots \right) - \left( -1 + \frac{5}{3^5} + \frac{3}{5^5} + \dots \right) \right] \cdot \rho D^4 \\ &= 0.1476 \rho D^4 \end{aligned} \quad (42)$$

$$c = \frac{\rho \omega}{2 \pi^3 l} \left( \frac{\omega^2 D}{g} - 1 \right) \left( \frac{2 \pi g}{\omega^2} \right)^3 \quad (43)$$

$$h' = \left( 1 - \frac{g}{\omega^2 D} \right) \cdot D \quad (44)$$

$$\beta = \frac{4 \rho \omega}{(J+J')} \left( 1 - \frac{g}{\omega^2 D} \right)^2 \left( \frac{g}{\omega^2 D} \right)^2 \cdot D^4 \quad (45)$$

また、式(41)および(42)の両式から

$$R^2 = \frac{J}{m} \frac{1 + \frac{0.1476 \rho D^4}{J}}{1 + \frac{0.428 \rho D^2}{m}} \quad (45.a)$$

なお、式(39)、(43)、(44)、(45)の各式の中には  $g/\omega^2 D$  という無次元積が現われているが、これが一つの重要なパラメーターであることは容易に理解されよう。

## 7. 仮想質量および仮想慣性モーメントの大きさの割合

$m'/m$  の値、ならびに  $J'/J$  の値の大きさの範囲を検討する。

堤体断面を高さ  $H$ 、幅  $B$  の長方形で近似すれば

$$\left. \begin{aligned} m &= \rho_w HB \\ J &= \frac{1}{12} \rho_w HB (B^2 + 4H^2) \end{aligned} \right\} \quad (45.b)$$

ただし

$\rho_w$  : 堤体の密度

したがって、

$$\frac{m'}{m} = \frac{0.428 \rho D^2}{\rho_w HB} = \frac{0.1781}{B'} \left( \frac{D}{H} \right)^2 \quad (46)$$

$$\begin{aligned} \frac{J'}{J} &= \frac{0.1476 \rho D^4}{\frac{1}{12} \rho_w HB (B^2 + 4H^2)} \\ &= 0.737 \frac{1}{B' (B'^2 + 4)} \left( \frac{D}{H} \right)^4 \end{aligned} \quad (47)$$

となる。ただし

$$B' = B/H \quad (48)$$

いま、大ざっぱに、もし

$$B' \sim 1, \quad D/H \sim 0.7$$

と考えて、 $m'/m, J'/J$  の値の程度を求めてみると、

$$m'/m \sim 0.0872$$

$$J'/J \sim 0.0354$$

したがって、

$$R^2 \sim 0.954 (J/m)$$

となる。また、堤体ロッキングの周囲は既述のように、

$$T = 2\pi / \sqrt{(J+J')/K} \quad (3')$$

したがって、

$$T = 0.984 (2\pi / \sqrt{J/K})$$

となり、一般にも仮想慣性モーメントは仮想質量なしとした場合の値  $2\pi / \sqrt{J/K}$  にくらべて数パーセント程度の影響しかおよばさないものであることが認められる。

## 8. 水抵抗による減衰の影響

式(12)から認められるように、 $F$  の減衰は  $e^{-\frac{\beta}{2}t}$  の項によって与えられる。ところで、

$$e^{-\frac{\beta}{2}t} = e^{-\frac{\beta T}{2} \frac{t}{T}} = e^{-\frac{\beta T}{2} t'}$$

であるから、 $\beta T/2$  が壁体の1振動ごとの減衰の割合に直接関係するパラメーターとなっている。したがって、この値を検討すると、式(45)を使用することにより、

$$\frac{\beta T}{2} = \frac{4\pi\rho}{(J+J')} \left( 1 - \frac{g}{\omega^2 D} \right)^2 \left( \frac{g}{\omega^2 D} \right)^2 D^4 \quad (49)$$

上式の  $J$  に式(45.a)を代入して、また、 $J'$  を  $J$  にくらべて無視すれば、

$$\begin{aligned} \frac{\beta T}{2} &= \frac{48\pi\rho}{\rho_w B' (B'^2 + 4)} \left( 1 - \frac{g}{\omega^2 D} \right)^2 \left( \frac{g}{\omega^2 D} \right)^2 \left( \frac{D}{H} \right)^4 \\ &= 62.9 \frac{1}{B' (B'^2 + 4)} \left( 1 - \frac{g}{\omega^2 D} \right)^2 \left( \frac{g}{\omega^2 D} \right)^2 \left( \frac{D}{H} \right)^4 \end{aligned} \quad (50)$$

ふたたび大ざっぱに、もし

$$B' \sim 1, \quad D/H \sim 0.7$$

と考えれば、上式から、

$$\frac{\beta T}{2} \sim 3.0 \left( 1 - \frac{g}{\omega^2 D} \right)^2 \left( \frac{g}{\omega^2 D} \right)^2$$

ところで、既述のように、

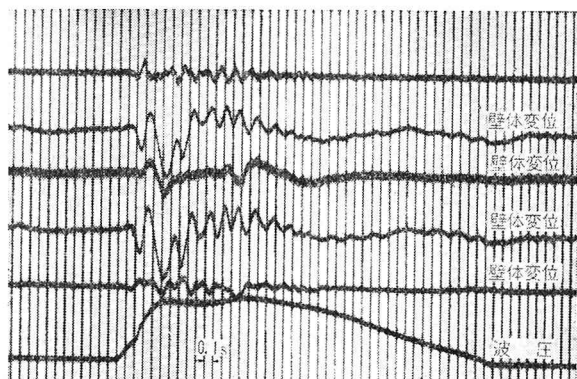
$$\omega^2 D/g > 14.96$$

よって、

$$\frac{\beta T}{2} < 3.0 \times \left( \frac{1}{14.96} \right)^2 = 0.013$$

したがって、 $t' = 100$ 、すなわちロッキング 100 往復後でも

図-10 ロッキングの観測記録の一例（羽幌港）  
(村木・高島)



$$e^{-\frac{\beta T}{2}t'} > e^{-0.013 \times 100} = 0.272$$

これは実際の現象にくらべて過小の値（実際にくらべて減衰が小さすぎる）を与えていたように思われる。図-10は羽幌港の観測記録の一つであるが、ほぼ12波程度でロッキングはほとんど減衰している。理論が過小の減衰を与えていた原因として考えられるものはつぎのようである：

- 1) ロッキングエネルギーの地盤を通しての逸散
- 2) 地盤の非弾性的性質

なお、水の粘性による振動エネルギーの逸散は単位時間当たりに

$$\begin{aligned} 2 \int_0^D \int_{-\infty}^{\infty} \mu \left( \frac{\partial u}{\partial y} + \frac{\partial v}{\partial x} \right)^2 dx dy \\ = 4 \mu \int_0^D \int_{-\infty}^{\infty} \left( \frac{\partial^2 \phi}{\partial x \partial y} \right)^2 dx dy \quad \dots \dots \dots (51) \end{aligned}$$

これによって計算されるロッキング1サイクル当たりのエネルギーの逸散  $\Delta E_1$  と、本節の理論式で計算される  $\Delta E$  との比の値は

$$\frac{\Delta E_1}{\Delta E} \sim 10^{-7} \frac{T}{D^2} \left( \frac{\omega^2 D}{g} \right)^4 \quad (\text{m}, \text{sec}) \quad \dots \dots \dots (52)$$

となって、 $\Delta E_1$  のほうが一般にかなり小さい。

## 9. 波圧の計算式

$F$  は式(14)で計算されるが、 $\beta T$  の値が比較的小さいことから、さしたる減衰が起こらないうちに“腰掛け圧力”的期間中に入るということが十分ありうる。この吟味は本研究の段階では時間不足のためまだ不十分であるが、この段階においては前報の計算式がさして大きすぎる値を与えるものではないと考えられる。ここに、前報における計算式とはつぎのものをさす：

$\lambda$  が 0.8 程度より大きい場合

$$\begin{aligned} F_{\max} = 0.82 \lambda \left[ \left( 1 - 0.6 \frac{2\tau}{T} \right) \frac{w}{\sqrt{g}} \frac{D_1}{D} \sqrt{1.167 + \frac{D}{2D_1}} \right. \\ \left. \cdot \frac{D^{5/2}}{T} + P_{cl} \right] \quad \dots \dots \dots (53) \end{aligned}$$

$\lambda$  が 0.8 程度より小さい場合

$$F_{\max} = P_m \cdot \varphi(t'; \lambda, \tau') \dots \dots \dots (54)$$

$\varphi$  : 図-3~7に示された縦軸の値

ただし

$D$  : マウンド前面の水深

$D_1$  : 堤体の直前面の水深

$w$  : 水（海水）の単位容積重量

$P_{cl}$  : Gourret の簡易式によって計算される重複波としての波圧

## 10. 結論

本研究の範囲内において認められたおもな事がらはつぎのようである。

1) 壁体ロッキングの仮想質量は式(41)で表わされる。

2) 壁体ロッキングの仮想慣性モーメントは式(42)で表わされる。

3) 仮想質量を考慮した場合、壁体の回転半径は式(45.a)で表わされる。この値は仮想質量を考慮しない場合よりいくらくか小さくなるが、その割合は一般に数パーセント程度のものにすぎない。

4) 仮想質量を考慮した場合、パラメータ  $\lambda$  の値は

3) 項の  $R^2$  の減少分だけ逆に大きくなる。しかしその割合もしたがって一般に数パーセント程度のものにすぎない。

5) ロッキングの減衰係数は理論的に式(45)で表わされる。しかし、その値は実際にくらべて過小の値を与えていたようであり、それについてはまだ今後の研究が必要である。

6) 波圧の計算式としては、ロッキングの減衰係数についての研究がさらに進むまでは、一応前報におけると同じ式(53)または(54)をとるのが安全である。